

©1995

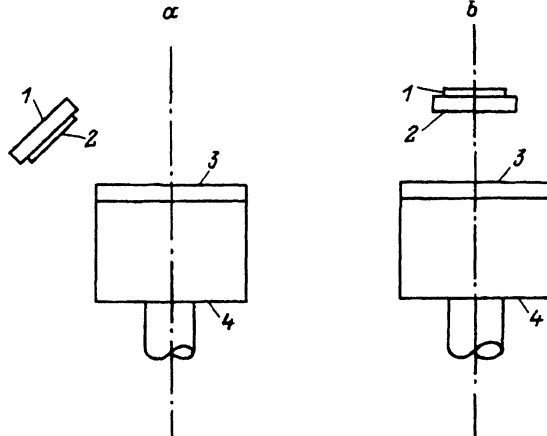
## НЕКОТОРЫЕ ОСОБЕННОСТИ ФОРМИРОВАНИЯ ПЛЕНОК $\text{SrTiO}_3$ И $\text{Ba}_{0.5}\text{Sr}_{0.5}\text{TiO}_3$ ПРИ МАГНЕТРОННОМ РАСПЫЛЕНИИ

Б.М. Гольцман, Н.В. Зайцева, Ю.Л. Крецер,  
В.В. Леманов, Т.А. Шаплыгина

Физико-технический институт им. А.Ф. Иоффе Российской академии наук,  
194021, Санкт-Петербург, Россия  
(Поступила в Редакцию 15 июня 1995 г.)

В работе исследовались состав и структура пленок  $\text{SrTiO}_3$  и  $\text{Ba}_{0.5}\text{Sr}_{0.5}\text{TiO}_3$ , полученных ВЧ магнетронным распылением и подвергнутых последующему высокотемпературному отжигу, в зависимости от положения подложки относительно магнетрона. Установлено, что положение подложки влияет на отклонение стехиометрического состава пленок  $\text{SrTiO}_3$  с сторону избытка титана либо стронция, на интенсивность диффузии алюминия из подложки в пленку при отжиге, на возможность возникновения вспучивания пленок  $\text{Ba}_{0.5}\text{Sr}_{0.5}\text{TiO}_3$  при отжиге, на тип осевой текстуры пленок  $\text{Ba}_{0.5}\text{Sr}_{0.5}\text{TiO}_3$ . Показано, что отжиг резко усиливает текстуру пленок. Обсуждаются возможные причины наблюдаемых закономерностей.

Особенности роста сегнетоэлектрических пленок, в частности пленок  $\text{SrTiO}_3$  и  $(\text{Ba}, \text{Sr})\text{TiO}_3$ , представляют большой интерес как в связи с физикой сегнетоэлектрических явлений в тонких пленках так и с возможностями их практического применения [1–7]. Одним из широко распространенных методов получения пленок  $\text{SrTiO}_3$  и  $(\text{Ba}, \text{Sr})\text{TiO}_3$  является ВЧ магнетронное распыление. В настоящей работе исследуются процессы формирования, состав, структура и степень совершенства пленок, полученных этим методом при различных условиях. Различные условия формирования пленок создавались путем изменения положения подложки относительно мишени (см. рисунок). Использовались два положения: подложка располагалась в стороне от оси магнетрона и была обращена лицевой стороной в сторону мишени (так называемое положение off axis), либо подложка располагалась над магнетроном, причем ее лицевая сторона была отвернута от мишени (в дальнейшем — «затененное» положение). Распылялись керамические мишени в атмосфере  $\text{Ar}-\text{O}_2$ . Пленки конденсировались на сапфировых подложках и после напыления отжигались в атмосфере осуженного кислорода при температуре до  $1200^\circ\text{C}$  в течение нескольких часов (аналогичный отжиг пленок  $\text{SrTiO}_3$  использовался в [1]). Толщины пленок находились в пределах от 1 до  $1.5\text{ }\mu\text{m}$ . Определение состава пленок производилось методом рентгеноспектрального микроанализа на сканирующем электронном микроскопе Camfcam с полупроводниковым



Положения подложки относительно оси магнетрона.

*a* — в стороне от оси магнетрона (off axis), *b* — «затененное» положение.  
 1 — подложкодержатель, 2 — подложка, 3 — мишень, 4 — магнетрон.

спектрометром AN10000. Рентгенографические исследования структуры пленок были выполнены на дифрактометре ДРОН-2 с приставкой ГП-4 для порошкообразных образцов (излучение  $\text{Cu}K\alpha$ ).

Микрорентгеноспектральный анализ пленок  $\text{SrTiO}_3$ , напыленных из мишени стехиометрического состава, показал, что пленки, полученные в положении off axis, содержали избыток титана, а пленки, полученные в «затененном» положении — избыток стронция (табл. 1). Это можно объяснить разным влиянием факторов, вызывающих нарушение состава пленки, при разных положениях подложки относительно мишени. К таким факторам можно отнести образование атомарных комплексов  $\text{TiO}$  и  $\text{SrO}$  в промежутке мишень–подложка, по-разному рассеивающих-ся в плазме (по аналогии с комплексами  $\text{TiO}$  и  $\text{BaO}$ , отмеченными в [2] в случае катодного распыления  $\text{BaTiO}_3$ ), распыление пленки в результате бомбардировки ее частицами плазмы, угловую зависимость состава потока частиц от распыляемой мишени.

Как видно из табл. 1, после отжига характер нарушения стехиометрического состава пленок сохранялся, при этом в пленках, полученных при «затененном» положении подложки, наблюдалось значительное количество алюминия, продифундированного из подложки. В пленках, напыленных в положении off axis, концентрация алюминия до и после термообработки не превышала погрешности обнаружения.

Таблица 1

Соотношение атомных концентраций стронция, титана и алюминия в пленках  $\text{SrTiO}_3$

«Затененное» положение пленки				Положение пленки off axis			
До отжига		После отжига		До отжига		После отжига	
Sr/Ti	Al/Ti	Sr/Ti	Al/Ti	Sr/Ti	Al/Ti	Sr/Ti	Al/Ti
1.15	0.01	1.12	0.21	0.97	0.01	0.92	0.01

Возможной причиной повышенной диффузии алюминия в пленку при напылении на «затененную» подложку могло быть высокое содержание отмеченных ранее комплексов  $TiO$  и  $SrO$  в потоке частиц, формирующих пленку. Содержание этих комплексов должно быть выше для «затененного» положения, так как в этом случае направление движения частиц вблизи подложки резко отличается от направления движения вблизи мишени и потому количество соударений частиц в промежутке мишень–подложка должно быть больше, чем в положении off axis. Как показано в [8], в которой исследовалось формирование пленок нитрида и карбида титана, низкая симметрия атомарных комплексов и их малая подвижность по подложке приводят к образованию пленок с рыхлой «открытой» структурой. В такой структуре диффузия алюминия должна быть облегчена.

Пленки, напыленные в положении off axis, формировались в большей степени из атомарного потока частиц и обладали более плотной структурой. Это проявилось в том, что пленки  $Ba_{0.5}Sr_{0.5}TiO_3$ , напыленные в положении off axis из мишени стехиометрического состава, вспучивались при отжиге. В то же время отжиг пленок, напыленных в «затененном» положении из стехиометрической мишени, а также напыленных в положении off axis из мишени, обогащенной стронцием и барием, не вызывал вспучивания. Эту закономерность можно объяснить, исходя из предположения, что вспучивание связано с увеличением объема пленки при отжиге в результате того, что внедренные в кристаллическую решетку атомы аргона и компонентов основного материала переходят из междуузлий в узлы, достраивая решетку. Такое предположение согласуется с рентгенографическими исследованиями постоянной решетки пленок  $Ba_{0.5}Sr_{0.5}TiO_3$ , которые показали, что отжиг вызывает уменьшение постоянной решетки на 0.5%. Увеличение объема пленки, вызывающего вспучивание, не происходит в случае пленок, напыленных в «затененном» положении, и пленок, напыленных в положении off axis из мишени, обогащенной стронцием и барием, имеющих, по-видимому, более рыхлую структуру.

Рентгеновский дифракционный анализ пленок  $Ba_{0.5}Sr_{0.5}TiO_3$  показал, что непосредственно после напыления пленки имеют осевую текстуру (табл. 2). После напыления в положении off axis так же, как и в случае пленок  $SrTiO_3$  [5] наблюдается текстура  $\langle 111 \rangle$ , а при напылении в «затененном» положении образуется текстура  $\langle 200 \rangle$ . Образование текстуры  $\langle 111 \rangle$  может быть связано, как и в случае  $SrTiO_3$ , с анизотропией скорости роста [5]. Поскольку в «затененном» положе-

Таблица 2

Отношения интенсивностей рентгеновских дифракционных линий  $\langle 111 \rangle$  и  $\langle 200 \rangle$  к интенсивности линии  $\langle 110 \rangle$  в нетекстуированном поликристалле  $Ba_{0.5}Sr_{0.5}TiO_3$  и пленках  $Ba_{0.5}Sr_{0.5}TiO_3$

Нетекстурированный поликристалл	«Затененное» положение пленки				Положение пленки off axis			
	До отжига		После отжига		До отжига		После отжига	
$\langle 111 \rangle$	$\langle 200 \rangle$	$\langle 111 \rangle$	$\langle 200 \rangle$	$\langle 111 \rangle$	$\langle 200 \rangle$	$\langle 111 \rangle$	$\langle 200 \rangle$	$\langle 111 \rangle$
0.27	0.38	0.20	1.1	0.33	13.3	5.1	0.31	14.0
								2.8

ни подложка находится в области с высокой концентрацией плазмы, образование текстуры  $\langle 200 \rangle$  можно объяснить, используя высказанное в [4] предположение о том, что зародыши с ориентацией  $\langle 200 \rangle$  наиболее устойчивы по отношению к распылению частицами больших энергий в плазме.

Данные табл. 2 показывают, что отжиг резко усиливает осевую текстуру в пленках, напыленных как в положении off axis, так и в «затененном» положении. Усиление обоих типов текстуры можно связать с тем, что в напыленных пленках кристаллические зерна с ориентацией, соответствующей данному типу текстуры, имеют большие размеры и преимущественно являются центрами сорбирательной рекристаллизации при отжиге.

Положение подложки относительно мишени не оказывает заметного влияния на совершенство кристаллической решетки пленок, характеризуемое полушириной  $\Delta\theta$  рентгеновской дифракционной линии  $\langle 110 \rangle$ . Совершенство структуры пленок  $\text{SrTiO}_3$  и  $\text{Ba}_{0.5}\text{Sr}_{0.5}\text{TiO}_3$  как при «затененном» положении подложки, так и при положении off axis высокое: величина  $\Delta\theta$  лежит в пределах  $4.8' \div 6.8'$ . Отжиг немногого улучшает совершенство структуры, снижая  $\Delta\theta$  на  $10 \div 20\%$ . Пленки обладают достаточно большой диэлектрической проницаемостью, равной 270 при 300 К и 680 при 78 К для отожженной пленки  $\text{SrTiO}_3$ , напыленной в «затененном» положении.

Авторы приносят благодарность А.И. Дедык и С.Ф. Карманенко, выполнившим измерения диэлектрической проницаемости пленок.

Работа поддержана Международным научным фондом (грант R3U000) и программой по ВТСП (проект 92176).

### Список литературы

- [1] Томашпольский Ю.Я., Севостьянов М.А., Ратников Г.Е., Федотов А.Ф. Криосталлография **20**, 1, 194 (1975).
- [2] Дудкевич В.П., Фесенко Е.Г. Физика сегнетоэлектрических пленок. Изд-во Ростовского ун-та (1979). С. 190.
- [3] Вендик О.Г., Ильинский Л.С., Смирнов А.Д., Хижя Г.С. ЖТФ **54**, 4, 772 (1984).
- [4] Surowiak Z., Margolin A.M., Zaharchenko J.N., Biryukov S.V. Thin Solid Films **176**, 2, 227 (1989).
- [5] Балашова Е.В., Гольцман Б.М., Ефимова Т.П., Зайцева Н.В., Мосина Г.Н., Сорокин Л.М. ФТТ **35**, 2, 442 (1993).
- [6] Jshinose N., Ogihara T. Jpn. J. Appl. Phys. **32**, pt 1, 9B, 4115 (1993).
- [7] Yamamuchi S., Yabuta H., Sakuma T., Miasaka Y. Appl. Phys. Lett. **64**, 13, 1644 (1994).
- [8] Sundgren J., Johanssen B.O., Karlsson S.E., Hentzell H.T.G. Thin Solid Films **105**, 4, 367 (1983).